CARTAS AL EDITOR

Efecto de las poliaminas sobre la inhibición por palmitoil-CoA de la glucosa-6-fosfato deshidrogenasa de hígado de rata

El flujo a través de la ruta de las pentosas fosfato está modulado por la glucosa-6-fosfato deshidrogenasa (G6PDH) cuya actividad es controlada por el cociente NADPH/NADP+ (3, 9). Otro elemento regulador de la actividad lo constituye el par palmitoil-CoA/poliaminas (6).

En el presente trabajo se ha investigado el efecto de algunas poliaminas sobre la inhibición de la G6PDH por el palmitoil-CoA, tanto en ausencia de NADPH, como en relación con el cociente NADPH/NADP+, con el fin de conocer la potencia reguladora del par palmitoil-CoA/poliamina, y su mecanismo de acción.

Los sustratos, coenzimas, palmitoil-CoA y poliaminas fueron suministrados por Sigma y los productos de cromatografía, de Pharmacia Fine Chemicals (Suecia).

La purificación de la G6PDH de hígado de ratas Wistar se realizó según el proceso de HORI y SADO (4) y el ensayo de la actividad enzimática tal como se describió previamente (10).

La constante de reversión o reactivación (Kr) se define como la concentración de poliamina capaz de producir una reactivación relativa del 50% desde una inhi-

bición de la actividad enzimática de un 50% (8). El valor de Kr puede calcularse a partir de la ecuación (Vo-Vc)/(Vs-Vc) = 1 + Kr/(S), en la que Vo y Vc representan los valores de actividad G6PDH cuando se añade agua a la mezcla de reacción en ausencia y en presencia de palmitoil-CoA, respectivamente. Vs representa la actividad enzimática cuando la poliamina, a una concentración S, se añade a la mezcla de reacción en presencia de palmitoil-CoA a una concentración que produce una inhibición del 50%. Kr también puede calcularse gráficamente a partir de la intersección —1/Kr en el eje 1/S cuando (Vo-Vc)/(Vs-Vc) se representa frente a 1/S.

Las poliaminas ensayadas revierten la inhibición de la G6PDH de higado de rata por el palmitoil-CoA según una cinética hiperbólica (fig. 1), igual que en médula adrenal de vaca y levadura (8). Mediante la aplicación de la fórmula anteriormente descrita, o bien realizando la representación que se muestra en la fig. 1, se obtienen valores de Kr para espermina, espermidina y etilendiamina de 0,8, 1,1 y 1,8 mM respectivamente. Los valores para espermina y espermidina son del mismo orden de magnitud que las con-

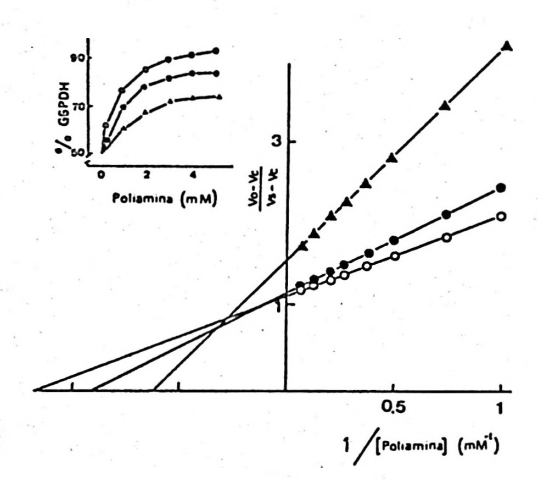


Fig. 1. Efecto reversor de algunas poliaminas sobre la inhibición de la G6PDH por palmitoil-CoA.

La mezcla de reacción contenía: tampón tris-ClH 50 mM (pH 7,5); Cl₂Mg 5 mM; G6P 1 mM; NADP+ 0,02 mM; 45 mU.I. de G6PDH y palmitoil-CoA 0,04 mM. La reacción fue iniciada mediante la adicción de G6P y 30 s después se añadió espermina (O), espermidina (●) o etilendiamina (▲) hasta alcanzar las concentraciones que se reseñan. La actividad enzimática se representa como el porcentaje de actividad respecto al ensayo realizado sin palmitoil-CoA.

centraciones fisiológicas de dichos compuestos en hígado de rata (11) y confirman a la espermina como la molécula reversora más potente (7, 8).

Estos resultados, similares a los obtenidos por MITA y YASUMASU (6, 8), sugieren que la Kr de cada poliamina decrece paralelamente al incremento de elementos de cadena carbonada y al número de grupos amino presentes en la poliamina.

El efecto de la espermina sobre la inhibición de la G6PDH por palmitoil-CoA, en relación con la presencia de NADPH, fue estudiado por métodos cinéticos. En ausencia de NADPH, el palmitoil-CoA se muestra como un inhibidor competitivo de la G6PDH respecto a la G6P y no competitivo respecto al NADP+ (fig. 2), un esquema de inhibición que parece universal para el enzima de diversos orígenes (1, 5). La adición de espermina 3 mM a

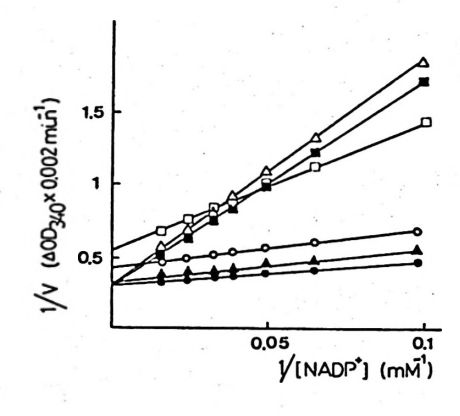


Fig. 2. Inhibición de la G6PDH por palmitoil-CoA y NADPH, y efecto de la espermina.

La mezcla de reacción es como en la fig. 1, aunque con distintas concentraciones de NADPH+. Enzima solo (●); palmitoil-CoA 0,04 mM (O); palmitoil-CoA 0,04 mM + espermina 3 mM (▲); NADPH 0,08 mM; palmitoil-CoA 0,04 mM + NADPH 0,08 mM (□); palmitoil-CoA 0,04 mM + NADPH 0,08 mM + espermina 3 mM (■).

una mezcla de reacción que contiene palmitoil-CoA produce un incremento de la actividad G6PDH que llega a alcanzar un 95% de la actividad enzimática obtenida en ausencia de palmitoil-CoA (fig. 2). Si bien la recuperación de la actividad es muy notable, no se llega a alcanzar al 100% de reversión obtenido utilizando como fuente de enzima G6PDH de levadura (8). La inhibición residual responde también a un esquema de tipo no competitivo respecto al NADP+.

El NADPH actúa como un inhibidor competitivo respecto al NADPH+, incrementando el valor de la Km desde el 4 µM a 36 µM. Sin embargo, la adición de palmitoil-CoA transforma dicha inhibición competitiva en una no competitiva con retorno a valores originales de la Km para NADP+. Si bien con relaciones NADPH/NADP+ reducidas (no fisiológicas) se encuentra inhibición enzimática respecto a la actividad obtenida en ausencia de palmitoil-CoA, en prescencia de elevados cocientes NADPH/NADP+,

próximos a los fisiológicos, se produce activación respecto a la actividad G6PDH obtenida en ausencia de palmitoil-CoA. La adicción de espermina 3 mM a ensayos de la actividad G6PDH en presencia de NADPH y palmitoil-CoA induce ahora, el retorno al original esquema de inhibición de tipo competitivo ejercido por el NADPH respecto al NADP+ en ausencia del par palmitoil-CoA/poliamina.

Estos resultados confirman datos previos (10) y parecen indicar que la esper-mina actúa específicamente sobre el palmitoil-CoA, al cual retira de la acción inhibidora, dejando exclusivamente esta función para el NADPH. La acción re-versora de la poliamina se concretaría en una neutralización de la carga negativa del CoA por las cargas positivas de los gru-pos amino de la poliamina, lo cual con-firma la acción reversora más potente de poliaminas con gran número de grupos amino (2, 7, 8). La menor acción inhibi-dora del NADPH en presencia del par palmitoil-CoA/poliamina que en su ausencia (fig. 2), también puede explicarse de acuerdo con la hipótesis sugerida, dada la similitud estructural del NADPH con el Coenzima A.

> Palabras clave: G6PDH, Palmitoil-CoA, Poliaminas.

Key words: G6PDH, Palmitoyl-CoA; Polyamines.

Bibliografía

- 1. Block, K. y Vance, D.: Ann. Rev. Biochem., 46, 263-299, 1977.
- Caggiano, A. U. y Powell, G. L.: J. Biol. Chem., 254, 2800-2806, 1979.
- 3. Eggleston, L. V. y Krebs, H. A.: Biochem. J., 138, 577-582, 1974.
- Hori, S. H. y Sado, Y .: J. Fac. Hokk. Univ., 19, 515-529, 1974.
- Levy, H. R.: Adv. Enzymol., 48, 97-192, 1978.
- Mita, M. y Yasumasu, I.: Biochem. Biophys. Res. Commun., 86, 961-967, 1979.
- Mita, M. y Yasumasu, I.: Arch. Biochem. Biophys., 201, 322-329, 1980.
- Mita, M. y Yasumasu, I.: Arch. Biochem. Biophys., 226, 19-26, 1983.
- Rodríguez-Segade, S., Freire, M. y Carrión, A.: Biochem. J., 170, 577-582, 1978.
- 10. Rodríguez-Torres, A. M., Villamarín, A., Carballal, C., Vázquez-Illanes, M. D. y Ramos-Martínez, J. I.: Rev. esp. Fisiol., 43, 7-12, 1987.
- Seiler, N., Bolkenius, F. N. y Knodgen, B.: Biochem. J., 225, 219-226, 1985.

A. M. RODRÍGUEZ-TORRES y J. I. RAMOS MARTÍNEZ

Departamento de Bioquímica Facultad de Farmacia Universidad de Santiago de Compostela (España)

(Recibido el 19 de septiembre de 1986)

